## 178. Substitutionen am Ringsystem der Lysergsäure I. Substitutionen am Indol-Stickstoff.

43. Mitteilung über Mutterkornalkaloide1)

von F. Troxler und A. Hofmann.

(12. VI. 57.)

In den im Mutterkorn vorkommenden Alkaloiden liegen säure-amidartig substituierte Derivate der Lysergsäure (Ia, R = OH) vor. Die grossen Unterschiede in der pharmakologischen Wirkung schon innerhalb der Gruppe der natürlichen Mutterkornalkaloide²) (R = Alaninol oder verschiedene basische Peptidreste), besonders aber zwischen den einzelnen in grösserer Zahl halbsynthetisch hergestellten säureamidartigen Derivaten der Lysergsäure³) zeigten eindrücklich die Abhängigkeit der pharmakologischen Eigenschaften von verschiedenartigen Substitutionen an der Carboxylgruppe des Lysergsäure-Restes.

Ausser durch die genannten Substitutionen ist die Lysergsäure-Molekel noch durch Hydrierung<sup>4</sup>) oder Hydratisierung<sup>5</sup>) der im Piperidinring enthaltenen Kohlenstoff-Doppelbindung verändert worden. Auch hier zeigten sich grosse Unterschiede im Wirkungscharakter zwischen den natürlichen Mutterkornalkaloiden und ihren Dihydro-

<sup>1) 42.</sup> Mitt., Helv. 40, 1358 (1957).

<sup>2)</sup> E. Rothlin, Archiv für Gynäkologie 166, 89 (1938).

<sup>&</sup>lt;sup>3</sup>) A. Stoll & A. Hofmann, Helv. 26, 944 (1943); 38, 421 (1955); A. Stoll und Mitarb. Helv. 33, 108 (1950).

<sup>4)</sup> A. Stoll& A. Hofmann, Helv. 26, 2070 (1943); A. Stoll, A. Hofmann& Th. Petrzilka, Helv. 29, 635 (1946).

<sup>5)</sup> A. Stoll & W. Schlientz, Helv. 38, 585 (1955).

Derivaten<sup>6</sup>). Da bereits solche geringfügige chemische Veränderungen die pharmakologischen Eigenschaften der Mutterkornalkaloide beeinflussen, so schien es uns lohnend, den Einfluss verschiedenartiger Substitutionen auch an anderen Stellen des Lysergsäure-Gerüstes zu untersuchen.

In der vorliegenden ersten Mitteilung über Substitutionen am Ringsystem der Lysergsäure berichten wir über die Acetylierung, Hydroxymethylierung und Dialkylaminomethylierung am Indol-Stickstoff. Die Herstellung dieser Derivate wurde nicht nur im Hinblick auf neue pharmakologische Eigenschaften, sondern auch zur vorübergehenden Blockierung der NH-Gruppe unternommen, die für gewisse synthetische Versuche mit Lysergsäure nötig war.

#### Acetylierung.

Es ist bekannt, dass sich Indol und Indol-Derivate sowohl mit Acetanhydrid<sup>7</sup>) wie in Form des *Grignard*-Salzes mit Acetylchlorid<sup>8</sup>) acetylieren und mit Diketen<sup>9</sup>) acetoacetylieren lassen. Zur Acetylierung von Lysergsäure-Derivaten scheiden die beiden erstgenannten Reagenzien aus. Acetanhydrid reagiert unter milden Bedingungen mit Lysergsäure-Derivaten nicht; unter energischen Bedingungen aber bewirkt dieses Reagens bereits weitergehende Veränderungen, indem der Ring D der Lyergsäure aufgespalten wird<sup>10</sup>). Die für die Acetylierung mit Acetylchlorid notwendigen *Grignard*-Salze sind hier nicht zugänglich, da magnesiumorganische Verbindungen nicht nur unter Ersatz des Wasserstoffs am Indolstickstoff, sondern ebenso leicht auch mit dem Carbonyl der Carboxyl-Gruppe reagieren.

Die Einführung der Acetyl-Gruppe an den Indol-Stickstoff von gewissen Lysergsäure-Derivaten gelang hingegen mit monomerem Keten<sup>11</sup>). Beim Einleiten dieses Acetylierungsmittels in eine benzolische Lösung eines Lysergsäure-Derivates in Gegenwart einer katalytischen Menge von Triäthylamin bildet sich die Acetyl-Verbindung (Ib bzw. IIb) rasch unter leichter Selbsterwärmung. Nach beendeter Umsetzung, deren Fortschreiten an Hand der charakteristischen Veränderung der Keller'schen Farbreaktion verfolgt werden kann, lässt sich das Acetyl-Derivat mit einer Ausbeute von ca. 60 % isolieren. Wenn Aceton als Lösungsmittel verwendet wird, ist die Zugabe eines basi-

<sup>6)</sup> E. Rothlin, Bull. Schweiz. Akad. Med. Wiss. 2, 249 (1946/47).

<sup>7)</sup> W. C. Sumpter & F. M. Miller, Heterocyclic Compounds with Indole and Carbazole Systems, Interscience Publ. Inc. New York 1954, p. 44. — R. C. Elderfield, Heterocyclic Compounds 3, 44 (1952).

<sup>8)</sup> G. R. Clemo & J. C. Seaton, J. chem. Soc. 1954, 2582.

<sup>9)</sup> J. Harley-Mason, Chemistry and Ind. 1951, 886; V. V. Perekalin & N. M. Slavčenskayja, Z. obšč. Chim. 24, 2164 (1954).

<sup>&</sup>lt;sup>10</sup>) A. Stoll, A. Hofmann & F. Troxler, Helv. 32, 506 (1949).

<sup>11)</sup> E. P. 776140 (Sandoz AG.).

schen Katalysators überflüssig. In diesem Medium bildet sich jedoch neben der Acetyl-Verbindung durch das in Aceton aus Keton entstehende Diketen noch eine grössere Menge des Acetoacetyl-Derivates Ic bzw. II c.

Die Acetylierung am Indol-Stickstoff gelingt nur bei einfachen Lysergsäure-Derivaten, versagt jedoch bei den Peptid-Alkaloiden, die unter der Einwirkung von Keten zusätzliche Umwandlungen erfahren. Lysergsäure-alkanolamide, z. B. Ergobasin, werden sowohl am Indol-Stickstoff wie an der Hydroxyl-Gruppe acetyliert.

Die Acetyl-Verbindungen zeichnen sich vor ihren Ausgangsverbindungen durch geringere Empfindlichkeit gegen Säuren und Oxydationsmittel aus. Die N-Acetyl-Bindung ist in mässig saurem und in hydrogencarbonat-alkalischem Milieu stabil. Mit Soda wird sie beim Erwärmen, mit Alkali schon bei Raumtemperatur hydrolytisch gespalten.

#### Hydroxymethylierung.

Zur Hydroxymethylierung erwärmt man eine essigsaure Lösung des Lysergsäure-Derivates mit überschüssiger Formaldehyd-Lösung auf 60–80°. Die Reaktion tritt nur in saurer Lösung ein. Andererseits darf die Essigsäure-Konzentration 25% nicht übersteigen, sonst bildet sich neben der Hydroxymethyl-Verbindung Id bzw. IId in mehr oder weniger grossem Ausmass auch das entsprechende Acetoxymethyl-Derivat Ie bzw. IIe. Dieses entsteht auch bei der Acetylierung der Hydroxymethyl-Verbindung mit Essigsäureanhydrid.

Die Hydroxymethyl-Gruppe ist wie die Acetyl-Gruppe gegenüber Hydrogencarbonat stabil, wird aber auch durch Soda beim Erwärmen und durch verdünntes Alkali in der Kälte hydrolytisch abgespalten.

### Dialkylaminomethylierung.

Hellmann<sup>12</sup>) hat am Beispiel des Carbazols gezeigt, dass Indol-Verbindungen mit besetzter 3-Stellung bei der Mannich-Reaktion 1-Dialkylaminomethyl-Derivate geben. Dementsprechend erhielten wir nach dem zur Darstellung von Mannich-Basen üblichen Verfahren aus Verbindungen der Lysergsäure- und Dihydro-lysergsäure-Reihe 1-Dialkylaminomethyl-Derivate (If bzw. IIf).

Die neuen Derivate sind bei Raumtemperatur sowohl gegen mässig starkes Alkali wie gegen verdünnte Säuren stabil, spalten jedoch beim Erwärmen die Dialkylaminomethyl-Gruppe in alkalischer Lösung langsam, in saurem Milieu schneller ab.

In den Tab. I-III sind die wichtigsten Daten der im experimentellen Teil beschriebenen Substitutionsprodukte zusammengestellt.

<sup>12)</sup> H. Hellmann & I. Löschmann, Chem. Ber. 87, 1684 (1954).

Tabelle I.
1-Acyl-Derivate von Lysergsäure- und Dihydro-lysergsäure-Verbindungen.

| $C_{19}H_{20}O_3N_2$<br>$C_{18}H_{19}O_2N_3$ | 179—1810  | + 15° (Chl)  | 7 - 25,   |
|--|---|--|---|
| $C_{18}H_{19}O_{2}N_{3}$                     |   | To (Om)  | 1   |
|  | 2260  | - 46° (Py)   | 4   |
| $C_{18}H_{19}O_{2}N_{3}$                     | 150-1540  | +370° (Py)   | 3   |
| $C_{20}H_{23}O_{2}N_{3}$                     | 218-2200  | - 40° (Py)   | 5   |
| $C_{22}H_{27}O_{2}N_{3}$                     | *)  | - 14° (Py)   | 6   |
| $\mathrm{C_{23}H_{27}O_4N_3}$                | 185—1920  | - 59° (Py)   | . 8   |
| C19H29O2N2                                   | 182-1830  | - 98° (Pv)   | 10  |
| $\mathrm{C_{22}H_{29}O_2N_3}$                | 174—1750  | -104° (Py)   | 9   |
| $C_{20}H_{23}O_3N_3$                         | 156-1590  | + 287' (Chl)   | 7   |
|  |   |  |   |
| $\mathrm{C_{21}H_{22}O_4N_2}$                | 168—1690  | - 8º (Chl)   | 2   |
| $C_{21}H_{24}O_4N_2$                         | 190—1910  | -114° (Py)   | 11  |
|  | $C_{22}H_{27}O_2N_3$ $C_{23}H_{27}O_4N_3$ $C_{19}H_{22}O_3N_2$ $C_{22}H_{29}O_2N_3$ $C_{20}H_{23}O_3N_3$ $C_{20}H_{23}O_3N_3$ | $\begin{array}{c ccccc} C_{22}H_{27}O_2N_3 & *) \\ C_{23}H_{27}O_4N_3 & 185 - 192^0 \\ C_{19}H_{22}O_3N_2 & 182 - 183^0 \\ C_{22}H_{29}O_2N_3 & 174 - 175^0 \\ C_{20}H_{23}O_3N_3 & 156 - 159^0 \\ \hline \\ C_{21}H_{22}O_4N_2 & 168 - 169^0 \\ \hline \end{array}$ | $\begin{array}{c ccccccccccccccccccccccccccccccccccc$ |

| 1-Hydroxymethyl-Derivat von   | Brutto-<br>formel   | Smp.<br>unter<br>Zers. <sup>13</sup> )  | $\begin{array}{l} [\alpha]_D^{20} \\ Py = in \ Pyridin \\ Chl = in \ CHCl_3 \end{array}$ | Abschn<br>im exp.<br>Teil |
|---|---|---|--|---------------------------|
| D-Lysergsäure-diäthylamid   | $C_{21}H_{27}O_{2}N_{3}$  | 164—166°  | + 23° (Py)   | 12                        |
| Ergobasin   | C20H25O3N3  | 125—1260  | - 11º (Py)   | 13                        |
| Ergotamin   | $C_{34}H_{37}O_6N_5$  | *)  | -131° (Chl)  | 15                        |
| Ergotaminin   | C34H37O6N5  | 201-2040  | + 335° (Chl)   | 14                        |
| D-Dihydro-lysergsäure(I)- methylester Dihydro-ergotamin Dihydro-ergocristin | C <sub>18</sub> H <sub>22</sub> O <sub>3</sub> N <sub>2</sub><br>C <sub>34</sub> H <sub>39</sub> O <sub>6</sub> N <sub>5</sub><br>C <sub>36</sub> H <sub>43</sub> O <sub>6</sub> N <sub>5</sub> | 191—192° *) *)  | - 100° (Py)<br>- 52° (Py)<br>- 55° (Py)  | 16<br>17<br>18            |
| Dihydro-ergocornin  | $C_{32}H_{43}O_6N_5$  | 179-1800  | - 43° (Py)   | 19                        |
| Dihydro-ergokryptin   | $C_{33}H_{45}O_6N_5$  | *)  | - 41° (Py)   | 20                        |
| 1-Acetoxymethyl-Derivat von   |   |   |  |                           |
| D-Dihydro-lysergsäure(I)- methylester                                       | $\begin{array}{c} C_{20}H_{24}O_4N_2 \\ C_{38}H_{45}O_7N_5 \\ C_{34}H_{45}O_7N_5 \\ C_{35}H_{47}O_7N_5 \end{array}$   | $113 - 114^{\circ}$ $199 - 200^{\circ}$ $168 - 170^{\circ}$ $223 - 224^{\circ}$ | - 51° (Py)<br>- 35° (Py)   | 21<br>22<br>23<br>24      |

<sup>&</sup>lt;sup>13</sup>) Alle Smp. sind in der Kapillare bestimmt und sind korrigiert.

|                           | Tabelle I    | II.            |                       |        |
|---------------------------|--------------|----------------|-----------------------|--------|
| Mannich-Basen von Lysergs | äure- und Di | ihydro-lysergs | äure-Ve <b>r</b> bind | ungen. |
|                           |              | Smp.           | 00                    | Ah     |

| 1-Dimethylaminomethyl-Derivat<br>von                | Brutto-<br>formel                 | Smp.<br>unter<br>Zers. <sup>13</sup> ) | $[\alpha]_D^{20}$ in Pyridin | Abschn<br>im exp.<br>Teil |
|---|-----------------------------------|--|------------------------------|---------------------------|
| D-Lysergsäure-diäthylamid D-Dihydro-lysergsäure(I)- | $\mathrm{C_{23}H_{32}ON_4}$       | *)                                     | $+15^{0}$                    | 25                        |
| methylester   | $C_{20}H_{27}O_2N_3$              | 93 940                                 | $-93^{\circ}$                | 26                        |
| Dihydro-ergotamin                                   | $C_{36}H_{44}O_5N_6$              | 165—1720                               | $-62^{\circ}$                | 28                        |
| Dihydro-ergocristin                                 | $C_{38}H_{48}O_5N_6$              | 189—1900                               | $-29^{\circ}$                | 29                        |
| Dihydro-ergocornin                                  | $C_{34}H_{48}O_5N_6$              | 2070                                   | $-34^{\circ}$                | 30                        |
| Dihydro-ergokryptin                                 | ${ m C_{35}H_{50}O_5N_6}$         | 183—1870                               | $-31^{\circ}$                | 31                        |
| 1-Piperidinomethyl-Derivat von                      |                                   |  |                              |                           |
| D-Dihydro-lysergsäure(I)-<br>methylester            | $\mathrm{C_{23}H_{31}O_{2}N_{3}}$ | 89 910                                 | - 85°                        | 27                        |

#### IR .- Spektren.

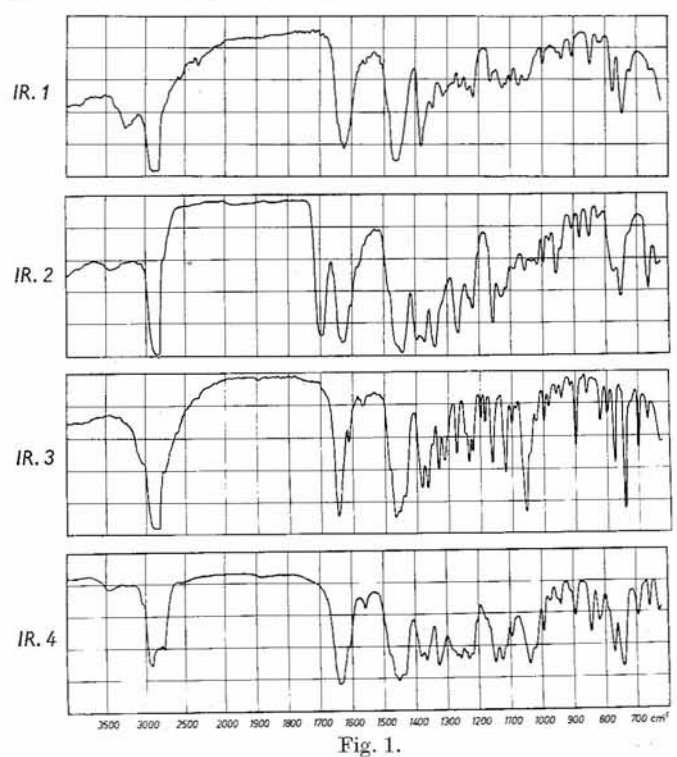
Als Beispiele für die charakteristischen Veränderungen, welche die IR.-Spektren der Lysergsäure- und Dihydro-lysergsäure-Verbindungen durch die besprochenen Substitutionen erfahren, werden in Fig. 1 das Spektrum des D-Lysergsäure-diäthylamids und in Fig. 2 dasjenige des D-Dihydro-lysergsäure(I)-methylesters denen der entsprechenden Substitutionsprodukte gegenübergestellt.

In den IR.-Spektren der Substitutionsprodukte fehlen die für die Indol-NH-Gruppe charakteristischen Banden der Stammverbindungen (schmale Bande bei  $3260~\rm cm^{-1}$  des D-Lysergsäure-diäthylamids bzw. breite Bande bei  $2600-3200~\rm cm^{-1}$  des Dihydro-lysergsäure-methylesters). Daraus ergibt sich, dass die Substituenten in die 1-Stellung des Ringsystems eingetreten sind, was schon aus der leichten hydrolytischen Spaltbarkeit der neuen Derivate gefolgert werden konnte.

In den Spektren der beiden 1-Acetyl-Derivate (IR. 2 und 6) ist eine neue tiefe Bande bei 1700 cm $^{-1}$  erschienen, die dem Carbonyl der N-Acetyl-Gruppe zugeschrieben werden muss. Das ist die Frequenz, bei der normale Keto-Gruppen absorbieren. Der Indolstickstoff, der keine basischen Eigenschaften besitzt, verhält sich also hier in spektraler Hinsicht wie ein zu einer Ketogruppe  $\alpha$ -ständiges Kohlenstoffatom.

Im Spektrum des 1-Hydroxymethyl-D-lysergsäure-diäthylamids (IR. 3) tritt an der Stelle der Bande der NH-Gruppe die breite Bande einer assoziierten OH-Gruppe auf.

Im Spektrum des 1-Acetoxymethyl-p-dihydro-lysergsäure-methylesters (IR. 7) fehlen im Gebiet von  $2800-3500~\rm cm^{-1}$  sowohl NH-wie OH-Banden, dafür werden die bei 1215 und 1740 cm $^{-1}$  liegenden Absorptionen der Acetoxy-Gruppe sichtbar.



IR.-Spektren von D-Lysergsäure-diäthylamid und seinen Substitutionsprodukten.

IR. 1 D-Lysergsäure-diäthylamid

in Nujol

IR. 2 1-Acetyl-D-lysergsäure-diäthylamid
IR. 3 1-Hydroxymethyl-D-lysergsäure-diäthylamid

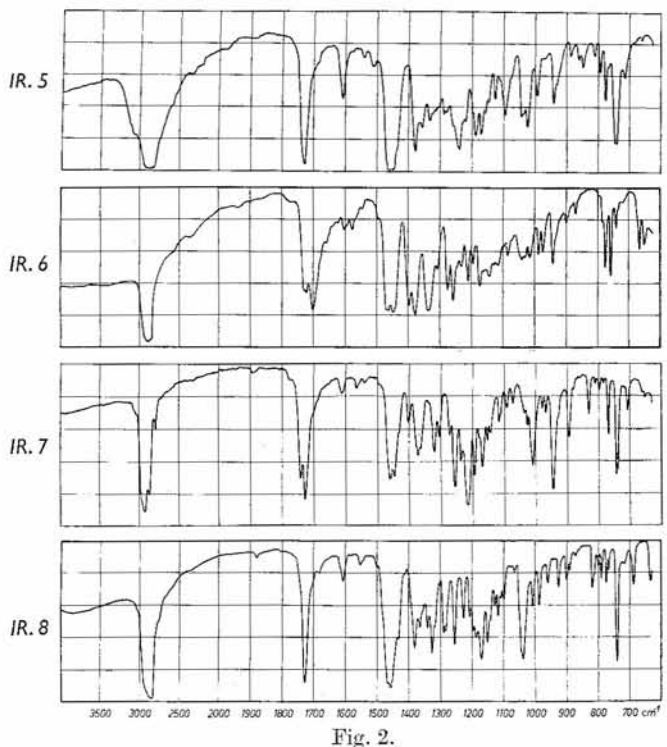
IR. 4 1-Dimethylaminomethyl-D-lysergsäure-diäthylamid, als Film.

## UV .- Spektren.

Durch die Acylierung am Indolstickstoff erfahren die UV.-Spektren der Lysergsäure- und der Dihydro-lysergsäure-Verbindungen eine vollständige Umgestaltung, wie aus dem Vergleich der in Fig. 4 und 5 wiedergegebenen Spektren des D-Dihydro-lysergsäure(I)-methylesters bzw. D-Lysergsäure-diäthylamids mit den Spektren der Acyl-Substitutionsprodukte der Fig. 3 ersichtlich ist. Der starke Einfluss auf das UV.-Spektrum durch die Acetylierung am Indolstickstoff wurde auch schon am Beispiel des Yohimbins und Corynanthins von M. M. Janot & R. Goutarel<sup>14</sup>) festgestellt. Es ist ferner bemer-

<sup>&</sup>lt;sup>14</sup>) Ann. pharmaceut. franç. 7, 552 (1949).

kenswert, dass die Spektren der Acetyl- von denen der Acetoacetyl-Derivate sowohl in der Lysergsäure- wie in der Dihydro-lysergsäure-Reihe stark abweichen.



IR.-Spektren von D-Dihydro-lysergsäure(I)-methylester und seinen Substitutionsprodukten (in Nujol).

IR. 5 D-Dihydro-lysergsäure(I)-methylester

IR. 6 1-Acetyl-p-dihydro-lysergsäure(I)-methylester

IR. 7 1-Acetoxymethyl-p-dihydro-lysergsäure(I)-methylester

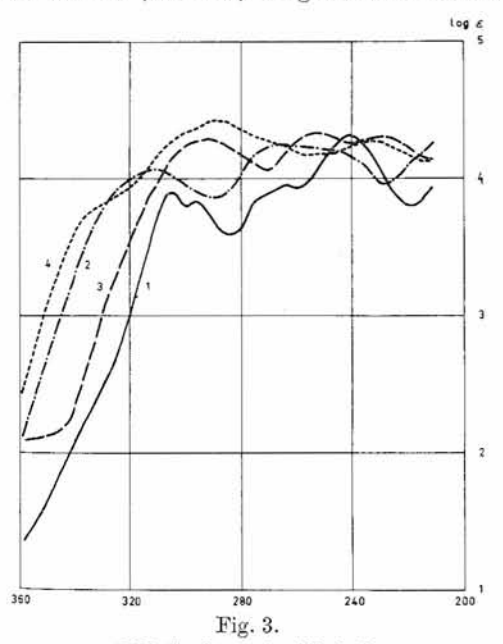
IR. 8 1-Dimethylaminomethyl-p-dihydro-lysergsäure(I)-methylester.

Demgegenüber haben weder die Hydroxy- und Acetoxy-methylierung noch die Dialkylaminomethylierung einen merklichen Einfluss auf die UV.-Spektren der Lysergsäure- und Dihydro-lysergsäure-Verbindungen, wie aus den Gegenüberstellungen in den Fig. 4 und 5 ersichtlich ist.

#### Farbreaktionen.

Die für den Nachweis und die quantitative Bestimmung von Lysergsäure- und Dihydro-lysergsäure-Derivaten am meisten verwendeten Farbreaktionen nach Keller und nach van Urk-Smith erfahren durch die Substitutionen in 1-Stellung charakteristische Veränderungen. Während die im Ringsystem unsubstituierten Lysergsäure- und

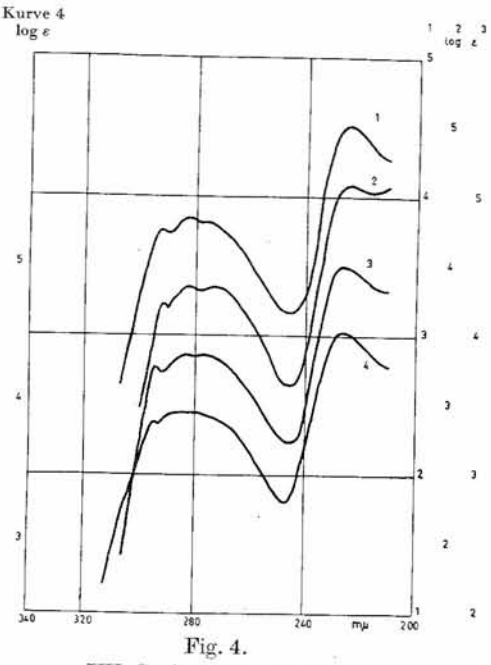
Dihydro-lysergsäure-Derivate bei den genannten Farbreaktionen blaue bis violettblaue Färbungen geben, werden mit den Substitutionsprodukten die in Tab. IV (S. 1716) aufgeführten Farben erhalten.



UV.-Spektren in Alkohol.

Bemerkenswerterweise ist die van Urk'sche Farbreaktion bei allen 1-Dialkylaminomethyl-Derivaten negativ. Die Regel, dass der negative Ausfall der van Urk'schen Farbreaktion eine Besetzung der 2-Stellung des Indol-Gerüstes anzeige, gilt also nicht ohne Ausnahme. Das Ausbleiben einer Färbung könnte auf sterische Hinderung oder auf Bildung eines chelatisierten 5-Rings nach Formel III zurückzuführen sein.

Über die Ergebnisse der pharmakologischen Prüfung der neuen Lysergsäure-Derivate, die in der pharmakologischen Abteilung der  $Sandoz\,AG.$ , Basel, durchgeführt wurde, wird an anderer Stelle berichtet.



UV.-Spektren in Alkohol.

- Kurve 1: p-Dihydro-lysergsäure(I)-methylester. Maxima bei 225 m $\mu$  (log  $\varepsilon=4,52$ ), 277 m $\mu$  (log  $\varepsilon=3,81$ , Schulter), 283 m $\mu$  (log  $\varepsilon=3,84$ ) und 293 m $\mu$  (log  $\varepsilon=3,76$ ).
- Kurve 2: 1-Acetoxymethyl-dihydro-ergocristin. Maxima bei 225 m $\mu$  (log  $\varepsilon=4,57$ ), 275 m $\mu$  (log  $\varepsilon=3,85$ ), 283 m $\mu$  (log  $\varepsilon=3,84$ ) und 294 m $\mu$  (log  $\varepsilon=3,74$ ).
- Kurve 3: 1-Hydroxymethyl-p-dihydro-lysergsäure(I)-methylester. Maxima bei 226 m $\mu$  (log  $\varepsilon=4,51$ ), 276 m $\mu$  (log  $\varepsilon=3,85$ ), 283 m $\mu$  (log  $\varepsilon=3,86$ ) und 295 m $\mu$  (log  $\varepsilon=3,79$ ).
- Kurve 4: 1-Dimethylaminomethyl-p-dihydro-lysergsäure(I)-methylester. Maxima bei 228 m $\mu$  (log  $\varepsilon=4.54$ ), 286 m $\mu$  (log  $\varepsilon=3.94$ ) und 297 m $\mu$  (log  $\varepsilon=3.89$ ).

## Experimenteller Teil<sup>13</sup>)<sup>15</sup>).

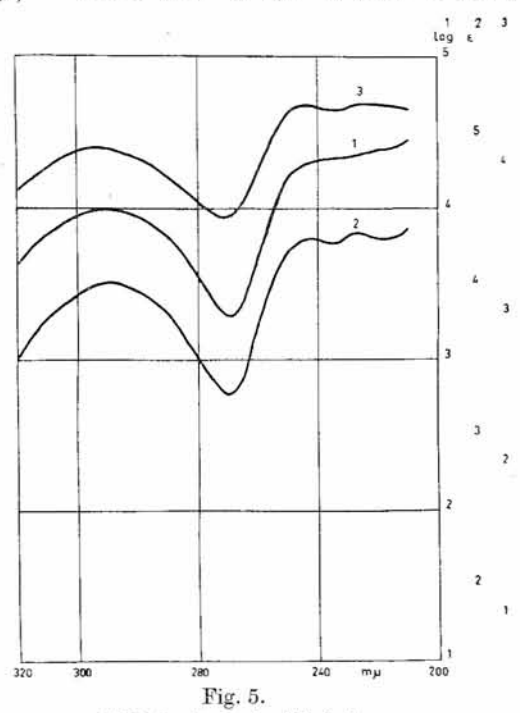
#### A. Acetylierung mit Keten 16).

1. 1-Acetyl-D-lysergsäure-methylester. Durch eine Lösung von 11,9 g D-Lysergsäure-methylester in 600 cm $^3$  absolutem Benzol, dem 0,5 cm $^3$  Triäthylamin zugesetzt waren, leitete man während 50 Min. einen lebhaften Ketenstrom, wobei die Temperatur auf 35 $^0$  anstieg. Zur Abtrennung der basischen Reaktionsprodukte schüttelte man

<sup>&</sup>lt;sup>15</sup>) Wir danken Herrn D. Caluori für geschickte experimentelle Mitarbeit.

<sup>16)</sup> Das Keten wurde durch Pyrolyse von Aceton (J. Org. Chemistry 5, 122 (1940)) in der von W. E. Hanford & J. C. Sauer (Org. Reactions 3, 132 (1946)) beschriebenen Zelle entwickelt.

nun mit 1-proz. Weinsäure-Lösung aus und chromatographierte die daraus in üblicher Weise isolierten Rohbasen an einer Säule von 350 g Aluminiumoxyd. Aus der mit Benzol ins Filtrat gewaschenen Fraktion kristallisierten 6,3 g reiner 1-Acetyl-p-lysergsäuremethylester und 0,5 g eines Gemisches mit der Iso-Verbindung. Aus Benzol Spiesse vom Smp. 179—181°. [ $\alpha$ ] $_{\rm D}^{20} = +15$ ° (c = 0,5 in Chloroform). UV.-Spektrum: Siehe Fig. 3.



UV.-Spektren in Alkohol.

Kurve 1: p-Lysergsäure-diäthylamid. Maximum bei 313 m $\mu$  (log  $\varepsilon=3,97$ ).

Kurve 2: 1-Hydroxymethyl-p-lysergsäure-diäthylamid. Maxima bei 227 m $\mu$  (log  $\varepsilon=4,33$ ), 243 m $\mu$  (log  $\varepsilon=4,29$ ) und 310 m $\mu$  (log  $\varepsilon=3.98$ ).

Kurve 3: 1-Dimethylaminomethyl-p-lysergsäure-diäthylamid. Maxima bei 228 m $\mu$  (log  $\varepsilon=4,38$ ), 245 m $\mu$  (log  $\varepsilon=4,38$ ) und 316 m $\mu$  (log  $\varepsilon=4.09$ ).

2. 1-Acetoacetyl-p-lysergsäure-methylester. 650 mg p-Lysergsäure-methylester in 50 cm³ Aceton wurden wie in Beispiel 1 mit Keten behandelt und entsprechend aufgearbeitet. Das Rohprodukt, das zu gleichen Teilen Acetyl- und Acetoacetyl-Verbindung enthielt, chromatographierte man an einer Säule von 30 g Aluminiumoxyd. Dabei wurde mit Benzol zuerst 1-Acetyl-lysergsäure-methylester, und hierauf mit Benzol, dem 1% Alkohol zugesetzt war, der 1-Acetoacetyl-p-lysergsäure-methylester ins Filtrat gewaschen. Dieser kristallisiert aus Aceton in kurzen Spiessen vom Smp. 168—169°.  $[\alpha]_{10}^{20} = -8°$  (c = 6,5 in Chloroform). UV.-Spektrum: Siehe Fig. 3.

# Tabelle IV. Farbreaktionen von 1-Substitutionsprodukten von Lysergsäure- und Dihydro-lysergsäure-Verbindungen.

| Derivate von   |   | $Keller$ 'sche Farbrekation (0,3 mg Substanz in 1 cm $^3$ 0,5 $^0$ / $_{00}$ Fe $^{\cdots}$ enthaltendem Eisessig + 1 cm $^3$ conc. Schwefelsäure) | van Urk'sche<br>Farbreaktion<br>(1 mg Subst. in<br>1 cm <sup>3</sup> Alkohol+<br>2 cm <sup>3</sup> Reagens* |  |
|--|---|--|---|--|
| 1-Acetyl-  | lysergsäure   | farblos, nach einigen<br>Min. violett  | blau  |  |
|  | dihydro-lysergsäure                                   | farblos, nach einigen<br>Min. reinblau   | blau  |  |
| 1-Aceto-acetyl- $\left\{ \begin{array}{ll} & & \\ & & \end{array} \right.$ | lysergsäure   | farblos, nach einigen<br>Min. grün   | blau  |  |
|  | dihydro-lysergsäure                                   | farblos, nach einigen<br>Min. grün   | blau  |  |
| 1-Hydroxy-   | lysergsäure   | braunrot   | violettblau   |  |
| methyl-  | dihydro-lysergsäure                                   | rotbraun   | violettblau   |  |
| 1-Dialkyl-<br>amino-<br>methyl-<br>(Mannich-<br>-Basen)                    | p-lysergsäure-<br>diäthylamid                         | olivgrün   | farblos   |  |
|  | Peptid-Alkaloide<br>und hydrierte<br>Peptid-Alkaloide | sehr schwach grünlich  | farblos   |  |
|  | p-dihydro-lyserg-<br>säure(I)-methylester             | farblos,<br>wird langsam reinblau  | farblos   |  |

aldehyd.

3. 1-Acetyl-D-isolysergsäure-amid. Herstellung nach 1. aus D-Isolysergsäure-amid. Aus Aceton/Äther Platten vom Smp. 150—154°.  $[\alpha]_{0}^{20}=+370^{\circ}$  (c = 0,5 in Pyridin).

$$C_{18}H_{19}O_2N_3$$
 Ber. C 69,88 H 6,19 O 10,34 N 13,58% (309,4) Gef. ,, 69,58 ,, 6,26 ,, 10,68 ,, 13,77%

4. 1-Acetyl-p-lysergsäure-amid. Aus vorstehend beschriebenem 1-Acetyl-p-isolysergsäure-amid durch Umlagerung. Man löste 3,8 g 1-Acetyl-p-isolysergsäure-amid in  $40~\mathrm{cm}^3$  Eisessig, liess unter Stickstoff 3 Tage stehen und chromatographierte das in üblicher Weise isolierte Umlagerungsgemisch an Aluminiumoxyd. Dabei wurden zuerst mit Chloroform, das ½% Alkohol enthielt, 45% Ausgangsmaterial ins Filtrat gewaschen, und hierauf mit Chloroform/1% Alkohol das reine 1-Acetyl-p-lysergsäure-amid, das aus Chloroform in Nadeln vom Smp.  $226^{\circ}$  kristallisierte. [ $\alpha$ ] $_{0}^{20} = -46^{\circ}$  (c = 0,5 in Pyridin).

5. 1-Acetyl-D-lysergsäure-äthylamid. Aus D-Lysergsäure-äthylamid 17) nach 1. Aus Chloroform oder Aceton uncharakteristische Kristalle vom Smp. 218—220°. [ $\alpha$ ] $_0^2 = -40°$  (c = 0,5 in Pyridin).

6. 1-Acetyl-D-lysergsäure-diäthylamid. Aus D-Lysergsäure-diäthylamid<sup>18</sup>) nach 1. 1-Acetyl-D-lysergsäure-diäthylamid konnte als freie Base aus keinem Lösungsmittel kristallisiert werden.  $[\alpha]_D^{30} = -14^0$  (c = 0,5 in Pyridin). IR.-Spektrum: Siehe Fig. 1.

<sup>17)</sup> A. Stoll & A. Hofmann, Helv. 38, 421 (1955).

<sup>18)</sup> A. Stoll & A. Hofmann, Helv. 26, 944 (1943).

Saures Tartrat; Aus Aceton feinste Nädelchen, Smp. 186—190°. [ $\alpha$ ] $_D^{20}=-6^\circ$  (c = 0,5 in Pyridin).

7. 1-Acetyl-D-6-methyl-isoergolenyl(-8)-carbamidsäure-äthylester. Herstellung gemäss 1. aus 6-Methyl-isoergolenyl-carbamidsäure-äthylester<sup>19</sup>). Aus Aceton sechseckige Platten vom Smp. 156—159°. [ $\alpha$ ] $_{\rm D}^{20}=+287°$  (c = 0,5 in Chloroform).

8. 1-Acetyl-D-lysergsäure-L-[1'-acetoxy-propylamid-(2')] (1,0-Diacetyl-ergobasin). Aus Ergobasin nach 1. Aus Chloroform feine Nädelchen, Smp. 185 bis  $192^0$ . [ $\alpha$ ] $_{\rm D}^{20} = -59^0$  (c = 0,5 in Pyridin).

9. 1-Acetyl-p-dihydro-lysergsäure(I)-diäthylamid. Aus p-Dihydro-lysergsäure(I)-diäthylamid<sup>17</sup>) nach 1. Aus Benzol sechseckige Platten, die bei 174—175° schmelzen.  $[\alpha]_D^{20} = -104°$  (c = 0,5 in Pyridin).

10. 1-Acetyl-p-dihydro-lysergsäure(I)-methylester. Aus p-Dihydro-lysergsäure(I)-methylester²0) nach 2. Bei der Chromatographie des dabei erhaltenen Gemisches von Acetyl- und Acetoacetyl-Verbindung wird die erstgenannte bereits mit Benzol ins Filtrat gewaschen. 1-Acetyl-p-dihydro-lysergsäure(I)-methylester kristallisiert aus Benzol in Prismen vom Smp. 182—183°. [ $\alpha$ ] $_{\rm D}^{20}=-98^{\circ}$  (c = 0,5 in Pyridin). IR.-Spektrum: Siehe Fig. 2. — UV.-Spektrum: Siehe Fig. 3.

11. 1-Acetoacetyl-p-dihydro-lysergsäure(I)-methylester. Bei der Chromatographie des im Abschnitt 10 erhaltenen Reaktionsgemisches wird der 1-Acetoacetyl-p-dihydro-lysergsäure(I)-methylester mit Chloroform ins Filtrat gewaschen. Aus Benzol Blättehen vom Smp. 190—191°. [ $\alpha$ ] $_D^{20}=-114$ ° (c = 0,5 in Pyridin). UV.-Spektrum: Siehe Fig. 3.  $C_{21}H_{24}O_4N_2 \quad \text{Ber. C } 68.46 \quad \text{H } 6.57 \quad \text{N } 7.60\%$ 

(368,4) Gef., 68,51 , 6,66 , 7,65%

#### B. Hydroxymethylierung.

12. 1-Hydroxymethyl-p-lysergsäure-diäthylamid. Zu einer Lösung von 0,5 g p-Lysergsäure-diäthylamid in 3 cm³ 50-proz. Essigsäure fügte man 3 cm³ 38-proz. Formaldehyd-Lösung und erwärmte das Gemisch 1 Std. auf 75°. Nach dem Alkalisieren mit NaHCO3 wurde mit Chloroform ausgeschüttelt und das Rohprodukt an 25 g Aluminiumoxyd chromatographiert. Mit Chloroform mit 0,5—1% Alkohol wurde 1-Hydroxymethyl-p-lysergsäure-diäthylamid ins Filtrat gewaschen. Aus Benzol kurze Nadeln vom Smp. 164—166°. [ $\alpha$ ] $_{\rm D}^{20} = +23°$  (c = 0,5 in Pyridin). IR.-Spektrum: Siehe Fig. 1. — UV.-Spektrum: Siehe Fig. 5.

13. 1-Hydroxymethyl-p-lysergsäure-L-propanolamid-(2). Aus p-Lysergsäure-L-propanolamid-(2) (Ergobasin) nach 12. Aus Methanol sechseckige Platten vom Smp. 125—126°. [ $\alpha$ ] $_{\rm D}^{20} = -11$ ° (c = 0,5 in Pyridin).

<sup>&</sup>lt;sup>19</sup>) F. Troxler, Helv. 30, 163 (1947).

<sup>&</sup>lt;sup>20</sup>) A. Stoll, A. Hofmann & Th. Petrzilka, Helv. 29, 635 (1946).

- 14. 1-Hydroxymethyl-ergotaminin. 250 mg Ergotamin wurden in 2 cm<sup>3</sup> 50-proz. Essigsäure gelöst, 2 cm<sup>3</sup> 38-proz. Formaldehyd-Lösung zugesetzt und das Gemisch 30 Min. auf 55° erwärmt. Das nach üblicher Aufarbeitung gewonnene Rohprodukt chromatographierte man an 20 g Aluminiumoxyd, wobei mit Chloroform/1% Alkohol 1-Hydroxymethyl-ergotaminin und mit Chloroform/2% Alkohol 1-Hydroxymethyl-ergotamin eluiert wurden.
- 1-Hydroxymethyl-ergotaminin kristallisiert aus Methanol in Nadelbüscheln vom Smp. 201—204°. [ $\alpha$ ]<sup>20</sup> = +335° (c = 0,3 in Chloroform).

15. 1-Hydroxymethyl-ergotamin. Die im Abschnitt 14. erhaltene 1-Hydroxymethyl-ergotamin-Base konnte aus keinem Lösungsmittel zur Kristallisation gebracht werden.  $[\alpha]_0^{20} = -131^{\circ}$  (c = 0,5 in Chloroform).

Neutrales Tarirat: Aus Methanol kurze Nädelchen, Smp. 190—192°.  $[\alpha]_D^{2n} = -13^{\circ}$  (c = 0,5 in Pyridin).

16. 1-Hydroxymethyl-n-dihydro-lysergsäure (I)-methylester. Man löste 30 mg n-Dihydro-lysergsäure(I)-methylester in 0,5 cm³ Eisessig, fügte 1 cm³ Wasser und 1 cm³ 38-proz. Formaldehydlösung hinzu und erwärmte das Gemisch 35 Min. auf 70°. Das nach üblicher Aufarbeitung gewonnene Rohprodukt kristallisierte aus Benzol oder Chloroform in langen Nadeln. Smp. 191—192°.  $[\alpha]_D^{20} = -100^\circ$  (c = 0,5 in Pyridin). UV.-Spektrum: Siehe Fig. 4).

17. 1-Hydroxymethyl-dihydro-ergotamin. Aus Dihydro-ergotamin nach 12. 1-Hydroxymethyl-dihydro-ergotamin konnte aus keinem Lösungsmittel kristallisiert werden.  $[\alpha]_D^{20} = -52^0$  (e = 0.4 in Pyridin).

Saures Oxalat: Kristallisiert aus Aceton, Smp. 194—196°. [ $\alpha$ ] $_D^{20}=-42^\circ$  (c = 0,4 in Pyridin).

$$\begin{array}{cccccccccc} \mathrm{C_{34}H_{39}O_6N_5,C_2H_2O_4} & \text{Ber. C } 61.44 & \text{H } 5.87 & \text{N } 9.95\% \\ (703,7) & \text{Gef. } ,, \ 61,74 & ,, \ 6.55 & ,, \ 10.35\% \end{array}$$

18. 1-Hydroxymethyl-dihydro-ergocristin. Aus Dihydro-ergocristin nach 12. Liess sich nicht kristallisieren.  $[\alpha]_0^{20} = -55^{\circ}$  (c = 0,5 in Pyridin).

19. 1-Hydroxymethyl-dihydro-ergocornin. Aus Dihydro-ergocornin nach 12. Aus Aceton/Äther Blättchen, Smp. 179—180°.  $[\alpha]_D^{20}=-43^\circ$  (c = 0,5 in Pyridin).

20. 1-Hydroxymethyl-dihydro-ergokryptin. Aus Dihydro-ergokryptin nach 12. Liess sich nicht kristallisieren.  $[\alpha]_D^{20} = -41^{\circ}$  (c = 0,5 in Pyridin).

21. 1-Acetoxymethyl-D-dihydro-lysergsäure(I)-methylester. Die Lösung von 130 mg 1-Hydroxymethyl-D-dihydro-lysergsäure(I)-methylester in 1 cm³ Pyridin und 2 cm³ Essigsäureanhydrid liess man 15 Std. bei Raumtemperatur stehen. Das nach üblicher Aufarbeitung gewonnene Rohprodukt wurde an 5 g Aluminiumoxyd chromatographiert, wobei mit Chloroform 120 mg 1-Acetoxymethyl-D-dihydro-lysergsäure(I)-methyl-

ester eluiert werden konnte. Aus einem Gemisch von Äther und Petroläther rechteckige Platten, Smp. 113—114°.  $[\alpha]_D^{20} = -91^{\circ}$  (c = 0.5 in Pyridin). IR.-Spektrum: Siehe Fig. 2.

22. 1-Acetoxymethyl-dihydro-ergocristin. Entsteht neben der 1-Hydroxymethyl-Verbindung (Abschnitt 18), wenn die Essigsäure-Konzentration der Reaktionslösung 30% oder mehr beträgt. Zur Trennung der beiden Derivate wurde an der Alox-Säule chromatographiert, wobei sich die Acetoxymethyl-Verbindung bereits mit Chloroform/0,25% Alkohol, das Hydroxymethyl-Derivat erst mit Chloroform/2% Alkohol eluieren liess. Aus Chloroform in kristallösungsmittel-haltigen rhombischen Platten, Smp. 199 bis  $200^{\circ}$ . [ $\alpha$ ] $_{\rm D}^{20} = -51^{\circ}$  (c = 0,4 in Pyridin). UV.-Spektrum: Siehe Fig. 4.

23. 1. Acetoxymethyl-dihydro-ergocornin. Aus Dihydro-ergocornin nach 22. Aus Chloroform massive, Kristallösungsmittel enthaltende Platten, Smp. 168—170°. [ $z_{100}^{120} = -35^{\circ}$  (c = 0,4 in Pyridin).

24. 1-Acetoxymethyl-dihydro-ergokryptin. Aus Dihydro-ergokryptin nach 22. Aus Essigester kurze Prismen, Smp.  $223-224^{\circ}$ .  $[z]_{10}^{220}=-30^{\circ}$  (c = 0,4 in Pyridin).

$$C_{35}H_{47}O_7N_5$$
 Ber. C 64,69 H 7,29 N 10,78% (649,8) Gef. ., 65,02 ,, 7,41 ,, 10,92%

#### C. Dialkylaminomethylierung.

25. 1-Dimethylaminomethyl-p-lysergsäure-diäthylamid. Zu einer Lösung von 0,8 g p-Lysergsäure-diäthylamid in 18 cm³ Eisessig gab man 25 cm³ 33-proz. wässeriges Dimethylamin und hierauf 12 cm³ 38-proz. Formaldehyd und erwärmte das Gemisch 30 Min. auf 70°. Das in üblicher Weise isolierte Rohprodukt wurde an 50 g Aluminiumoxyd chromatographiert. Mit Benzol liessen sich 0,6 g 1-Dimethylaminomethyl-p-lysergsäure-diäthylamid als farbloses Öl eluieren, das nicht kristallisiert werden konnte.  $[\alpha]_{0}^{20} = +15^{\circ}$  (c = 0,5 in Pyridin). IR.-Spektrum: Siehe Fig. 1. — UV.-Spektrum: Siehe Fig. 5.

Bis-bitartrat: Aus Aceton/Äther uncharakteristisches Kristallisat, Smp. 63—75°.  $[\alpha]_{10}^{20} = +24$ ° (c = 0,5 in Wasser).

Hydrolytische Abspaltung der Dimethylaminomethyl-Gruppe: Je eine Lösung von 0,1 g 1-Dimethylaminomethyl-D-lysergsäure-diäthylamid in 2,0 cm³ Alkohol wurde a) mit 1,0 cm³ 2-n. H<sub>2</sub>SO<sub>4</sub>, b) mit 2,0 cm³ 5-proz. KOH in Methanol verdünnt und das Fortschreiten der Hydrolyse an Hand der Keller'schen Farbreaktion verfolgt. Nach 1-stündigem Stehen bei 20° war in beiden Ansätzen noch keine Hydrolyse feststellbar. Bei 75° war in a) nach 10 Min., in b) erst nach 2 Std. vollständige Hydrolyse eingetreten.

Aus den Ansätzen wurde p-Lysergsäure-diäthylamid in kristallisierter Form isoliert und durch Vergleich mit authentischem Material identifiziert.

26. 1-Dimethylaminomethyl-p-dihydro-lysergsäure (I)-methylester. Aus p-Dihydro-lysergsäure (I)-methylester nach 25. Die Verbindung ist in den meisten organischen Lösungsmitteln, sogar in Petroläther, leicht löslich. Aus letztgenanntem Lösungsmittel kristallisiert sie in Nadeln. Smp. 93—94°. [ $\alpha$ ] $_0^2 = -93°$  (c = 0,5 in Pyridin). IR.-Spektrum: Siehe Fig. 2. — UV.-Spektrum: Siehe Fig. 4.

27. 1-Piperidinomethyl-p-dihydro-lysergsäure(I)-methylester. Aus p-Dihydro-lysergsäure(I)-methylester und Piperidin entsprechend 25. Aus Petroläther kurze Prismen, Smp. 89—91°. [ $\alpha$ ] $_{\rm D}^{20}=-85^{\circ}$  (c = 0,5 in Pyridin).

28. 1-Dimethylaminomethyl-dihydro-ergotamin. Aus Dihydro-ergotamin nach 25. Aus Äther achteckige Platten, Smp. 165—172°.  $[\alpha]_D^{20}=-62^0$  (c = 0,5 in Pyridin).

$$C_{36}H_{44}O_5N_6$$
 Ber. C 67,48 H 6,92 O 12,49 N 13,12% (640,8) Gef. ,, 67,33 ,, 7,16 ,, 12,75 ,, 13,42%

29. 1-Dimethylaminomethyl-dihydro-ergocristin. Aus Dihydro-ergocristin nach 25. Aus Benzol feine, zu Büscheln vereinigte Nädelchen, Smp. 189—190°. [ $\alpha$ ]<sup>20</sup> =  $-29^{\circ}$  (c = 0.5 in Pyridin).

30. 1-Dimethylaminomethyl-dihydro-ergocornin. Aus Dihydro-ergocornin nach 25. Aus Benzol Polyeder vom Smp. 207°. [ $\alpha$ ]<sub>D</sub><sup>20</sup> = -34° (c = 0,5 in Pyridin).

31. 1 - Dimethylaminomethyl - dihydro - ergokryptin. Aus Dihydro-ergokryptin nach 25. Aus Benzol zu Aggregaten vereinigte Platten, Smp. 183—187°. [ $\alpha$ ] $_{\rm D}^{20}=-31^{\circ}$  (c = 0.5 in Pyridin).

Die Mikroanalysen wurden in unserem Mikroanalytischen Laboratorium (Dr. W. Schöniger) ausgeführt. Die UV.- und IR.-Spektren wurden in unserer Spektralanalytischen Abteilung (Dr. H. G. Leemann) aufgenommen.

#### Zusammenfassung.

Es werden Herstellung und Eigenschaften von 1-Substitutionsprodukten von Lysergsäure- und Dihydro-lysergsäure-Verbindungen beschrieben. Die folgenden, hydrolytisch leicht wieder abspaltbaren Reste wurden eingeführt: Acetyl, Acetoacetyl, Hydroxymethyl, Acetoxymethyl, Dimethylaminomethyl, Piperidinomethyl.

Pharmazeutisch-chemisches Laboratorium Sandoz, Basel.